

جبران افت اهمی در خاک بوسیله روش پل DC گالوانوستات

چنگیز دهقانیان

استاد دانشکده مهندسی شیمی، دانشگاه صنعتی اصفهان

چکیده

بررسیهای الکتروشیمیایی در خاک با مقاومت بالا در حضور مقاومت اهمی بالا هنگامی که یک جریان پلاریزه کننده I از داخل R مقاومت محلول بین نمونه و الکترودهای مرجع عبور می‌کند دشوار می‌باشد. این پلاریزاسیون اهمی از رفتار تافل فلز جلوگیری می‌کند. در نتیجه اورولتاژهای فعالیت را بطور دقیق نمی‌توان تعیین نمود. مدار اصلاح شده پل Wheatstone با موفقیت برای جبران اثرات اهمی بالا در خاک و سایر محلولهای با مقاومت بالا در طول اندازه گیری dc گالوانوستاتی (جریان کنترل شده) بکار رفته است.

یک پروفیل از نمونه‌های خاک با عمق، برای تستهای الکتروشیمیایی سرب و فولاد که به عنوان مواد ساختمانی برای ظروف نگاهدارنده ضایعات اتمی بکار می‌روند بدست آمده است.

نتایج برای اثرات سولفاتها، کلرورها و کربناتها که همه آنها از تغییرات ترکیبات خاک با عمق مشتق می‌شوند بطور خلاصه توصیف شده‌اند. اثرات مقدار رطوبت اضافه شده بر روی تمام نمونه‌ها بحث شده‌اند.

مقایسه سرعتهای خوردگی مشاهده شده بوسیله برون‌یابی تافل و اندازه گیریهای پلاریزاسیون خطی موافقت خوبی را شان داده‌اند. در اکثر مواقع، سرعتهای خوردگی ابتدا با افزایش مقدار آب افزایش یافته و سپس به سرعت نقصان می‌یابند. یونهای سولفاتها و کلرورها یک عمل بازدارندگی شدید بر روی خوردگی سرب نشان دادند. در حالی که، در مقدار متوسط، آئونهای بی‌کربنات سرعت خوردگی نسبتاً بالاتری را تحریک نمودند.

خوردگی موضعی از ظروف دفن شده در خاک به نظر می‌رسد که به علت سطح رطوبت خیلی پائین، کوچک می‌باشد. به نظر می‌رسد که شرایط خیس و خشک کردن متناسب که معادل با پر و خالی کردن حفره‌های خاک می‌باشد یکی از مخرب‌ترین اثرات بر روی فلز دفن شده در خاک باشد.

Ohmic Compensation in Soil by Galvanostatic DC Bridge

Changiz Dehghanian

Prof. Chemical Engineering Department

University of Technology in Esfahan

Abstract

Electrochemical investigations are difficult in high resistivity soils because of the presence of the high ohmic or IR polarization incurred when a polarizing current I passes through R , the solution resistance between the specimen and the reference electrodes. This ohmic polarization obscures the Tafel behavior of the metal. As a results, the desired activation overvoltages can not be accurately determined. A modified Wheatstone bridge circuit has been used with success to compensate ohmic interferences in soil and other high resistivity solutions during galvanostatic (current controlled) dc measurements.

A profile of soils samples with depth was obtained for electrochemical testings of lead and steel, which are construction materials for nuclear waste containers. Results are described briefly on effects of sulfate, chloride and carbonate, all of which can be derived from variations of soil composition with depth. Effects of added moisture content on all samples are also discussed.

Comparison of corrosion rates observed by Tafel extrapolation and polarization measurements showed good agreement. In most cases, corrosion rates were found to increase initially with increasing water content, and then to decrease rapidly. Sulfate and chloride ions showed a strongly inhibitive action on lead corrosion. Whereas, at intermediate water contents, bicarbonate anions stimulated a relatively higher rate of corrosion.

Local corrosion of the buried containers is expected to be very small because of the very low moisture levels present. It seems that conditions of alternate wetting and drying which corresponds to the filling and emptying of the soil pores could have the most deteriorous effect on the buried metal.

اثرات افت اهمی بالا در خاک در نظر گرفته شد. اثرات شیمی خاک و محتوی رطوبت خاک بر روی نمونه های فلزی دفن شده بطور کامل مورد بررسی قرار گرفت.

۲- روش های آزمایش، مواد و دستگاه های به کار رفته در آزمایشها

خاک تهیه شده برای آزمایش های الکتروشیمی آنالیز گردید تا ترکیبات شیمیایی، RH و مقادیر هدایت الکتریکی مخصوص آن تعیین گردد. این مقادیر نسبت به عمق در جدول (۱) نشان داده شده است.

خاکها بطور کلی قلیابی بودند و مقادیر هدایت الکتریکی آنها در محدوده $۱۰\text{--}۲۸۱۰ \mu\text{s/cm}$ در لایه سطحی $۲\text{--}۱۰ \mu\text{s/cm}$ در ناحیه با سولفات بالا قرار گرفتند. محتوی رطوبت هر کدام از خاکها در شرایطی که دریافت شدند اندازه گیری شد. روش استاندارد ASTM D2216 آب (رطوبت) خاک و مخلوط قلوه سنگ که در آن رطوبت از طریق نقصان وزن در طول پختن اندازه گیری گردید بکار گرفته شد. محتوی رطوبت خاک دریافت شده خیلی کم، بین $۰\text{--}۵\%$ تا ۲% درصد از کل وزن خاک بود.

خواص خورنده گی خاک بطور کلی وابسته به ذرات یا اندازه دانه آن دارد. خاکها یا دانه های کوچکتر مساحت سطح بیشتری را ارائه می دهند که رطوبت را بیشتر و به سادگی در خود نگه می دارند و در نتیجه خورنده گی را افزایش می دهند. نمونه های خاک الک شدند و تنها قسمت ریزتر از $۲۰۰\text{ }\mu\text{m}$ در این

۱- مقدمه

اندازه گیری های پلاریزاسیون الکتروشیمیایی برای مطالعه و بررسی رفتار خوردگی فلزات در خاک بکار رفته است [۱-۳]. این روشها، علاوه بر فراهم نمودن سرعت خوردگی کمی برای فلزات دفن شده در خاک، تقریبی از عملکرد آنها براساس آزمایش های کوتاه مدت فراهم می سازند [۴].

هدف از این بررسی، مطالعه سرعت خوردگی فلزات سرب و فولاد (Mild Steel) در خاک اطراف اصفهان می باشد. ظروف فولادی (Mild Steel) و یا سرب برای دفن نمودن فضولات صنعتی و مواد رادیواکتیو به مقدار کم در عمقهای مختلف در خاک استفاده می شوند، تا از نشت آنها در خاک و آلوده نمودن آبهای زیرزمینی جلوگیری به عمل آید. در این مطالعه، سعی شد تا امکان استفاده از این فلزات در خاکهای اطراف اصفهان در عمقهای مختلف بررسی گردد. چون انتظار می رود که سرعت خوردگی در این خاکها کم باشد، روش های الکتروشیمیایی به علت حساسیت خوب آنها بکار گرفته شدند [۵-۸].

مطالعات الکتروشیمیایی در خاکهای با مقاومت بالا خیلی مشکل است زیرا افت اهمی بالا یا پلاریزاسیون IR زمانی که یک جریان پلاریزه کننده I از داخل مقاومت R (مقاومت محلول بین نمونه و الکtrode مرجع) عبور می کند اتفاق می افتد. این پلاریزاسیون اهمی رفتار تألف فلز را از بین می برد. در نتیجه، اورولتاژ فعالیت مورد نظر را بطور دقیق نمی توان تعیین نمود. بنابراین در این مطالعه یک مدار پلی برای جبران نمودن

جدول (۱) مقادیر متوسط از ترکیبات شیمیایی، PH ، هدایت مخصوص برای خاکهای آزمایش شده

ترکیبات شیمیایی								
نوع خاک	تعداد نمونه‌ها	عمق m	HCO_3^-	Cl^-	SO_4^{2-}	PH	هدایت مخصوص $\mu S/cm^2$	
1	3	0-0.79	200.9	7.11	13.4	9	111	
2	1	1.67	197.5	355	139	9.17	438	
3	1	4.72	74.5	214	8550	8	2810	
4	3	6.7-10.9	266.7	170.5	414	9.6	348	
5	3	6-12.50	247.6	156.2	198.5	9.6	360	

شد. پلاریزاسیون آندی از طریق جریانهای آندی محمول، رفتار تافل مورد انتظار را تولید نمی‌کند. پلاریزاسیون در مقایسه با منحنی‌های آندی محاسبه شده که در شکلهای (۳ و ۴) نشان داده شده است کاملاً بالا بود. به نظر می‌رسد این پلاریزاسیون بالا و ثابت‌های تافل بالا مشتق شده، در اثر بازدارنگی آئیونهای در خاک توأم با انتقال کم در حجمهای حفره نزدیک به سطوح باشد.

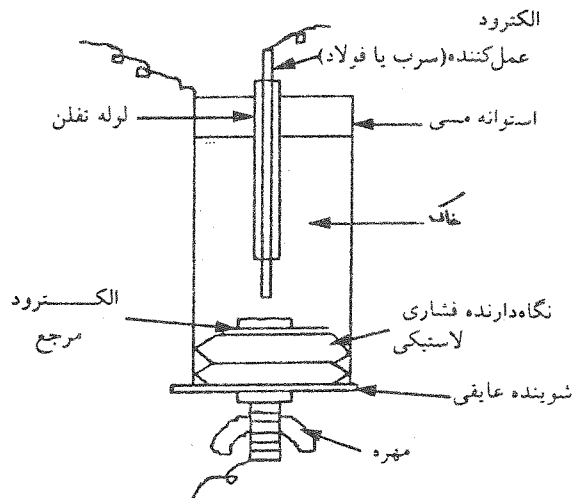
الکترودکاری در مرکز بطور عمودی قرارداده شد و نمونه خاک در داخل پل می‌ریخته شد. خاک سپس به نرمی با انتهای یک میله فولادی به قطر $1/9$ سانتی‌متر ($3/4$ اینچ) کوییده شد. دانسته bulk [۹] که درجه فشردگی خاک را ارائه می‌دهد از جرم و حجم خاک (قریباً 100 سانتی‌متر مکعب) محاسبه شد و در محدوده $1/5$ تا $1/6$ کرم به سانتی‌متر مکعب برای تمام نمونه‌ها بود. مدار پلی (bridge circuit) نشان داده شده در شکل (۲) برای انجام اندازه‌گیری‌های پلاریزاسیون بکاررفت. منبع تغذیه، جریان مستقیم را به داخل مدار فراهم ساخت. یک آمپر متر مقدار جریان را اندازه‌گیری نمود. پتانسیومتر (P) پتانسیل الکترودکاری (WE) را نسبت به الکترود مرجع اندازه‌گیری نمود، این پتانسیومتر به یک خط متصل شده بود که در آن یک آمپر متر بعنوان تعیین کننده صفر، (Null detector) عمل می‌نمود. مقادیر بزرگ S و T، هر کدام 200 مگا اهم از پلاریزاسیون الکترود مرجع جلوگیری نمودند.

مقاومت متغیر X برای جبران اثرات اهمی تنظیم شد و کلید K وسیله‌ای برای قطع جریان بود.

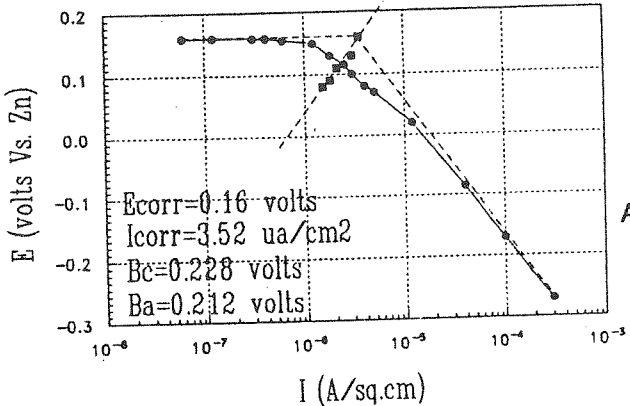
مطالعه بکار برده شدند.

پل پلاریزاسیون نشان داده شده در شکل (۱) شامل دو لوله مسی با قطر خارجی 5 سانتی‌متر است که در یک طرف آن بویله Stopper لاستیکی گرفته شده است و حالت لاستیک بویله ترکیبی از یک پیچ و مهره انبساط می‌یابد.

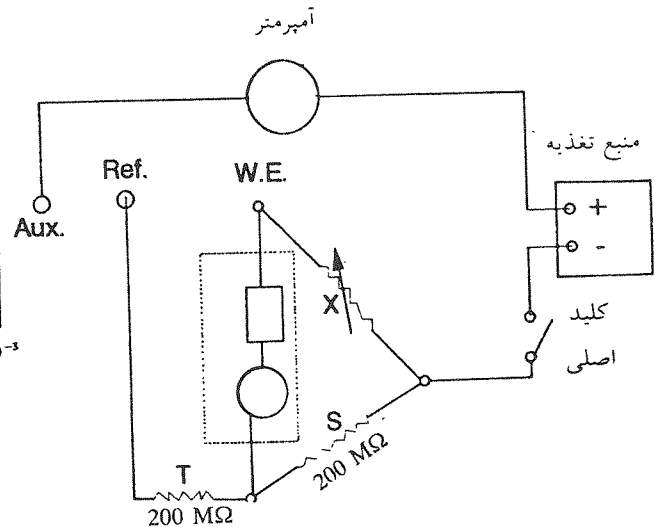
الکترودکاری یک سیم سربی یا یک میخ آهنی به قطر $3/556$ میلی‌متر می‌باشد که در یک لوله تفلونی (Teflon) که بویله گرم‌ما منقبض می‌گردد قراردارد و $1/5$ تا 2 سانتی‌متر مربع از الکترودکاری در معرض خاک قراردارد. لوله مسی به عنوان الکترود کمکی عمل می‌کند، و سطوح بزرگ فلز روی از سرمهره گالوازیه و واشر زیر آن بعنوان الکترود مرجع در نظر گرفته



شکل (۱) شماتی از سطح مقطع پل پلاریزاسیون



شکل (۴) منحنی نوعی تافل برای فولاد (سطح در معرض قرارگرفته مساوی $1/8$ سانتیمترمربع)

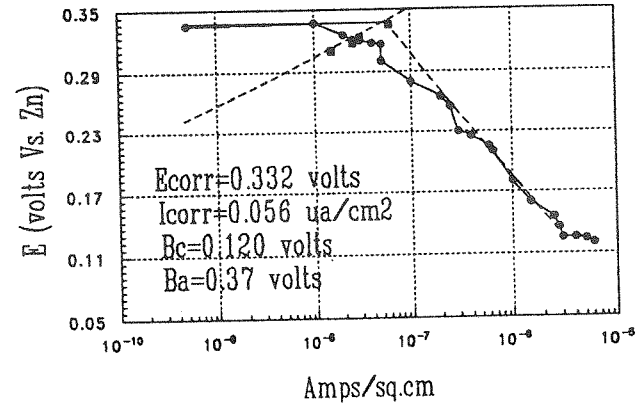


شکل (۲) مدار پلی برای اندازه‌گیری پلاریزاسیون

اندازه‌گیری‌های پتانسیل نسبت به الکترود کالومل اشباع در آزمایش‌های بعدی انجام نشد. در کل، الکترود مرجع روی نسبت به الکترودهای کاری سرب و فولاد فعالتر بود. تحت شرایط اضافه نمودن آب زیاد به خاک یک پتانسیل عکس مشاهده شد و هر دو الکترود سرب و آهن پتانسیلهای فعالتر نسبت به الکترود مرجع روی از خود نشان دادند.

هر دو Schwerdtfeger [۱۰] و Romanoff [۱۱] پتانسیل عکس مشابهی در آب و خاک مشاهده نمودند و این اثر را در نتیجه تشکیل فیلم سلیکات‌روی، بر روی فلز دانستند.

در هر یک از نمونه‌های خاک، محتوى رطوبت از حالت خشک تا سطوح 10 ، 15 ، 20 و 25 درصد از کل وزن خاک افزایش داده شد و نهایتاً تحت شرایط اشباع با آب بر روی سطح خاک، محتوى آب بعنوان یک پارامتر برای مطالعه انتخاب شد زیرا انتظار می‌رود که یک اثر بزرگ بر روی افزایش سرعت خوردگی در خاک داشته باشد. بعد از اضافه نمودن آب، نمونه‌های خاک در پلهای پلاریزاسیون برای مدت دو روز به حالت تعادل در یک محیط با رطوبت بالا نگه داشته شدند تا تبخیر آب به حداقل برسد. سپس اندازه‌گیری‌های پلاریزاسیون با استفاده از پل نشان داده شده در شکل (۲) انجام شد. یک مقدار نسبتاً بالا از جریان ($2 \mu\text{A}/\text{cm}^2$) انتخاب شد و به پتانسیل پلاریزه شده اجازه داده شد تا ثبت شود. جریان بطور موقت با فشار دادن کلید K قطع شد. در حالتهای بیش از حد جبران نمودن افت اهمی، پتانسیل بطور جزئی به یک مقدار منفی تر بالا رفت قبل از این که به پتانسیل خوردگی پلاریزه نشده برگردد. زمانیکه X



شکل (۳) منحنی نوعی تافل برای سرب (سطح در معرض قرارگرفته معادل $1/82$ سانتیمترمربع) محتوى آب مساوی با 20 درصد وزن خاک

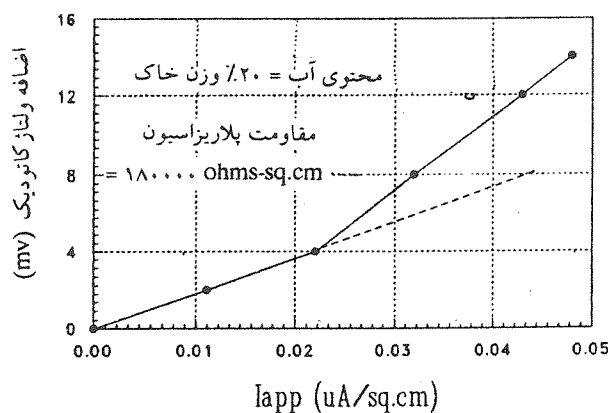
۳- نتایج و روش آزمایش

اندازه‌گیری‌های اولیه برای بررسی نمودن ثبات الکترود مرجع روی، در مدت پلاریزاسیون انجام گردید. اندازه‌گیری‌های پتانسیل در خاک نسبت به الکترود مرجع کالومل اشباع (SCE) انجام شد. تغییر پتانسیل بر روی یک دوره ۲۴ ساعته در حدود 1 mV بود. چون اندازه‌گیری‌های پلاریزاسیون ماقریم تا یک ساعت طول کشید، الکترود مرجع روی به اندازه کافی با ثبات معرفی شد. پتانسیل الکترود روی 40 ولت نسبت به الکترود کالومل اشباع بود.

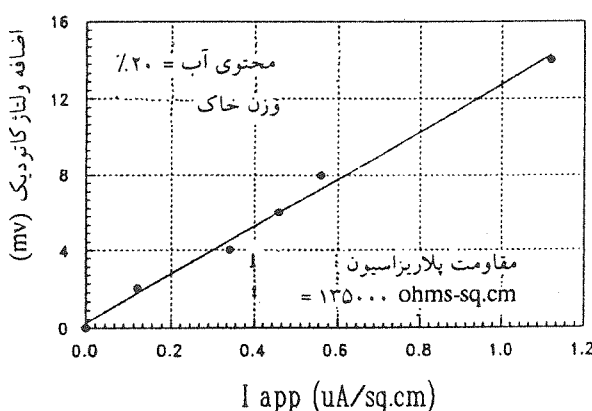
پلاریزاسیون کاتدی می‌باشد [۱۴ و ۱۳]، مقدار $\text{m}\beta$ در حدود ۳۷٪ ولت بست آمد. مقادیر معادل برای فولاد $\text{m}\beta$ مساوی با ۲۲۸٪ ولت و مساوی با ۲۱۲٪ ولت مشخص شد.

پلاریزاسیون آندی به روش جریانهای آندی معمول رفتار تافل موردنظر را ارائه نداد. پلاریزاسیون در مقایسه با منحنی‌های آندی مشتق و محاسبه شده در شکل‌های (۳ و ۴) کاملاً بالا بود. بنظرمی‌رسد این پلاریزاسیون و ثابت‌های تافل بالا در نتیجه اثرات بازدارنده‌گی آبیونها در خاک توأم با انتقال پائین در حجمها را حفظ نمودیک به سطوح باشند.

منحنی اورولتاژ کمتر از $mv 10$ بعنوان تابعی از دانسیته جریان اعمال شده را منحنی پلاریزاسیون خطی نامند. شکل (۵) برای سرب و شکل (۶) برای فولاد نشان داده شده است.



شکل (۵) منحنی پلاریزاسیون مقاومت نوعی برای سرب



شکل (۶) منحنی پلاریزاسیون مقاومت نوعی برای فولاد

مساوی با مقاومت بین الکترود مرجع و الکترود کاری تنظیم شد اثر بالا و پائین رفتن پتانسیل نسبت به زمان از بین رفت. همچنانکه محتوی آب در خاک افزایش یافت، مقاومت X لازم برای جبران افت اهمی نیز همچنانکه انتظار می‌رفت نقصان یافت، مقدار این نقصان از چند صد کیلو اهم برای نمونه‌های خشک تا تقریباً ۱۰ کیلو اهم با ۱۰ درصد آب، و نهایتاً به کمتر از یک کیلو اهم در نمونه‌های اشباع رسید. بعد از این که مقاومت جبران شده تعیین گردید، به سیستم چندین ساعت وقت داده شد تا ثبت گردد. سپس تکنیکهای گالوانستاتیک [۸] بکاربرده شدند تا اولین پلاریزاسیون خطی به وسیله پلاریزاسیون کاتدی تعقیب شده توسط منحنی‌های کاتدی تافل تحت شرایط پلاریزاسیون کاتدی بیشتر تولید گردد. نمونه‌ها بطور کاتدی به پتانسیلهای منفی‌تر از پتانسیل مدار باز پلاریزه شدند و data کافی برای بدست آوردن خط تافل گرفته شد. سرعتهای خوردگی به وسیله هر دو روش برونویابی تافل و پلاریزاسیون خطی تعیین شدند [۱۲]. نمونه‌های نوعی از منحنی‌های پلاریزاسیون کاتدی آزمایشی در شکل (۳) برای سرب و شکل (۴) برای فولاد نشان داده شده است. خط تافل، تا پتانسیل خوردگی برونویابی شد تا مقدار دانسیته جریان خوردگی تعیین گردد. در اکثر حالات، رفتار خطی تافل تا یک decade ادامه یافت. در هر حال، تحت شرایط ریختن آب بر سطح خاک، نتایج بدست آمده از یک پیل تا پیل دیگر تغییر نمود. در بعضی موارد نشاندهنده یک جریان محدود نفوذپذیری (Limiting diffusion current) بود و در بعضی مواقع تصاعد الکتروولیتی هیدروژن از آب در اورولتاژهای کاتدی بالاتر بود. در هر دو نمونه سرب و فولاد، نقصان در سرعت پلاریزاسیون در جریانهای بالا مشاهده شد (نقطه A در شکل ۳). این رفتار در مطالعات دیگران [۱] نیز مشاهده شد و دلیل آن نامعلوم است. در شکل (۳)، خط تافل تا یک و نیم decade ادامه یافت. شیب تافل کاتدی، $\text{m}\beta$ برابر با $12 / ۰$ ولت بست آمد. برونویابی تافل نشان داد که دانسیته جریان خوردگی برابر با 5.6×10^{-8} آمپر به سانتی متر مربع می‌باشد.

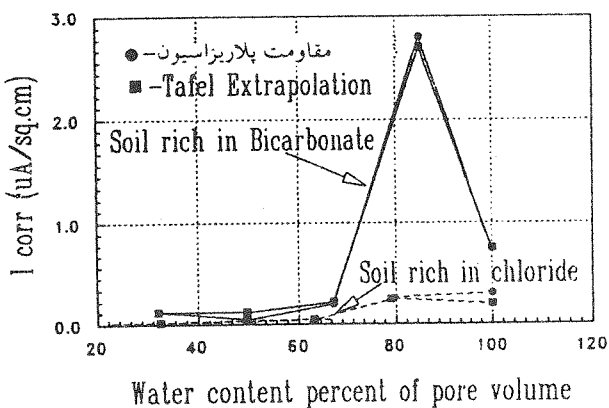
چون معادله پلاریزاسیون خطی برای محاسبه دانسیته جریان خوردگی نیاز به تعیین شیب آندی $\text{m}\beta$ دارد، منحنی پلاریزاسیون آندی از مقادیر پلاریزاسیون کاتدی برونویابی شد، با استفاده از رابطه $a_{applied} = a_a + a_b$ ترتیب دانسیته‌های جریان آندی و کاتدی می‌باشد و $a_{applied}$ دانسیته جریان اعمال شده برای

سرعت خوردگی i_{corr} با سیله رابطه معمول

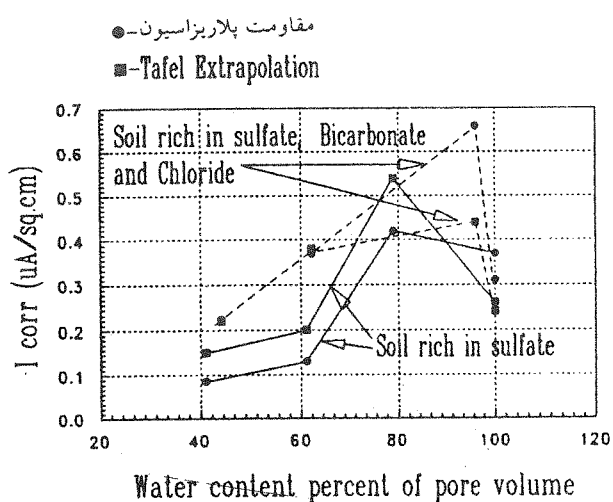
$$R_p = \frac{\beta_a \cdot \beta_c}{2.3 i_{corr} (\beta_a + \beta_c)} \quad (1)$$

محاسبه شد. به دلیل این که β_a و β_c معلوم می‌باشند، i_{corr} محاسبه می‌شود. شکل (۵) مقدار R_p را 18000 اهم سانتیمتر مربع ارائه می‌دهد. از شکل (۳) β_a را مساوی با $0/37$ و β_c را مساوی $0/12$ ولت بدست می‌آوریم. بنابراین برای سرب آمپر $i_{corr} = 6.76 \times 10^{-6}$ آمپر به سانتیمتر مربع می‌باشد که فرآیند نزدیک به فولاد $i_{corr} = 3.53 \times 10^{-6}$ آمپر به سانتیمتر مربع را ارائه می‌دهد.

تغییر سرعت خوردگی با عمق برای سرب در شکل (۹) نشان داده شده است. این data باید تنها به عنوان سرعتهای خوردگی در نمونه‌های گرفته شده از این عمقها تفسیر گردد. سرعتهای خوردگی واقعی در این عمقها در هر زمان تابعی از مقدار رطوبت و اکسیژن موجود می‌باشد.



شکل (۷a) تغییرات سرعت خوردگی سرب نسبت به محتوای آب



شکل (۷b) تغییرات سرعت خوردگی فولاد نسبت به محتوای آب

فلز برسد [۱۵ و ۱۶].

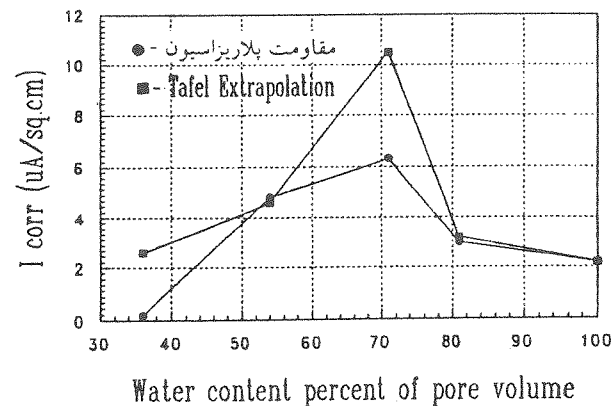
بنابراین تحت شرایط ریختن آب بر سطح خاک، سرعت خوردگی به سرعت نقصان می‌یابد، زیرا دسترسی اکسیژن به مقدار زیادی محدود می‌گردد. این دلیل تشکیل نقطه ماکزیمم در شکل‌های (۷ و ۸) می‌باشد. یکی از خاکها که مقدار کلر نسبتاً پیشتری داشت این نقطه ماکزیمم تیز را نشان نداد. به صورت، سرعت خوردگی مشاهده شده در این حالت بی‌نهایت کوچک بود. ممکن است فاکتورهای دیگری وجود داشته باشند که از رفتار مورد انتظار جلوگیری نمایند. وجود نقطه ماکزیمم در مقدار متوسط آب، نشان می‌دهد که شرایط خیس و خشک نمودن، آب را در حفره‌های خاک در سطح متوسط نگه می‌دارد. این عمل مخرب‌ترین اثر را بر روی فلز دفن شده دارد.

اثر بازدارنگی ذرات آنیونی و اثرات غلظت Romanoff آنها بر روی رفتار خوردگی سرب را بررسی نموده است [۱۶]. او گزارش می‌دهد که وجود سولفاتها، کربناتها، کلرورها و سیلیکاتها در غلظت نسبتاً بالا می‌تواند یک اثر بازدارنگی قوی بر روی سرب داشته باشد. این نقصان در سرعت خوردگی مربوط به پلاریزاسیون آندی است که باعث محصولات خوردگی با حلالیت کم در نزدیکی مساحت آند می‌شود. این محصولات توأم با فیلم اکسید سطح، علت کم بودن سرعت خوردگی سرب در خاکهای مختلف، مخصوصاً در ناحیه با محتوى سولفات بالا را آشکار می‌سازد. سرعت خوردگی نسبتاً بالاتر در خاک با آنیونهای بی‌کربنات بیشتر در مقدار متوسط آب ممکن است به علت عدم وجود آنیونها در مقداری باشد که امکان تشکیل فیلم را محدود می‌سازند [۱۶]. سرعت خوردگی نمونه‌های فولادی به علت عدم وجود فیلم اکسید حفاظتی در سطح فلز نسبتاً بالا می‌باشد.

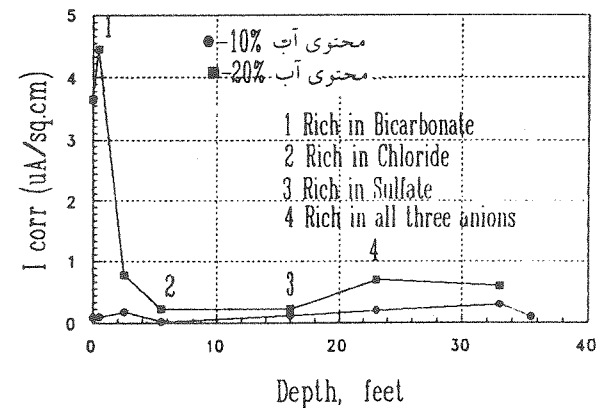
۵- نتیجه‌گیری

پروفیل نمونه‌های خاک اصفهان با عمق به وسیله آزمایش‌های خوردگی از سرب و فولاد فراهم شد. این فلزات به عنوان مواد ساختمانی برای ظروف نگهداری فضولات و مواد رادیواکتیو در سطح کم بکار می‌روند. خاکهای استفاده شده دارای مقاومت الکتریکی بالایی بودند که نیاز به خبران نمودن افت اهمی در طول اندازه‌گیری‌های پلاریزاسیون الکتروشیمیایی بود تا سرعت خوردگی را دقیق‌تر نشان دهد.

اندازه‌گیری‌های گالوانستاتیکی DC (کنترل جریان) بر روی



شکل (۸) تغییر سرعت خوردگی فولاد نسبت به محتوای آب



شکل (۹) تغییر سرعت خوردگی و ترکیبات خاک با عمق

۴- بحث

وجود اکسیژن محلول و اثرات ترکیبات خاک بنظر می‌رسد که کنترل کننده فرآیندهای خوردگی می‌باشد. خاک محتوی آب یک نقش مهم در غلظت هوا یا اکسیژن در خاک بازی می‌کند. اگر حجم حفره از خاک تنها بطور جزیی با آب پوشود، انتقال اکسیژن به سطح فلز بطور زیادی از مسیر انتقال بوسیله نفوذ در فاز گاز صورت می‌گیرد که پروسس نسبتاً سریع می‌باشد. با افزایش محتوی آب، سرعت خوردگی در ابتدا به علت مساحت بزرگ سطح خیس شده افزایش می‌یابد و هدایت الکتریکی را بهبود می‌بخشد. بر عکس، در حالت اشباع و ریختن آب در خاک، حجم حفره خاک کاملاً با آب پرمی شود. این به عنوان یک چسب عمل می‌کند و به مقدار زیادی دسترسی هوا به سطح فلز را محدود می‌کند. پس اکسیژن نمی‌تواند به آب سطح

سولفات یک عمل بازدارندگی شدیدی بر روی خوردگی سرب نشان دادند. جاییکه در مقدار متواتر آب آنیونهای بیکربنات سرعت خوردگی نسبتاً بالاتری را تحریک می‌نمایند. این رفتار ممکن است به علت کافی نبودن آنیون باشد که از تشکیل شدن فیلم در سطح فلز جلوگیری می‌نماید. بنظر می‌رسد که شرایط خیس و خشک نمودن که معادل با پر و خالی نمودن حفره‌های خاک می‌باشد یکی از مخرب‌ترین اثر بر روی فلز مذکور شده در خاک باشد.

نمونه‌های سربی و فولادی مدفون شده در خاک با استفاده از مدار پلی ویتاستون (Wheatstone) انجام شدند. مقایسه سرعتهای خوردگی مشاهده شده توسط بروون‌بابی تافل و اندازه‌گیری‌های پلاریزاسیون موافق خوبی را نشان دادند. در اکثر مواقع مشاهده شد که سرعت خوردگی در ابتدا با افزایش در محتوی آب افزایش می‌یابد و سپس به سرعت نقصان می‌یابد. سرعت خوردگی کم، تحت شرایط اضافه نمودن آب به خاک، عدم دسترسی اکسیژن فلز را نشان می‌دهد. یونهای کلر و

مراجع

- [1] John, D.A. and Lowe, T.A., *Journal of Materials*. Vol. 4, No.3, Sept. 1991, PP. 600-617.
- [2] Scully, J.R. and Bundy, K.J., *Materials Performance*, 1985, PP. 18-25.
- [3] Scully, J.R. and Bundy, K.J., *Materials Performance*, July 1984, PP.50-55.
- [4] Serra, E.T. and Manheimer, W.A. *Underground Corrosion*, ES Calante E., Ed. Philadelphia, STP 741, 1981, P. 111.
- [5] Fotana, M.G., *Corrosion Engineering*, Mc Graw Hill, New York, 1986, PP. 499-503.
- [6] Jones, D.A., and Greene, N.D., *Corrosion*, July 1987.
- [7] Jones, D.A., *Corrosion*, Vol. 8, 1968.
- [8] Jones, D.A., *Corrosion*, Vol. 39, Nov. 1983.
- [9] Hillel, D., *Fundamentals of Soil Physics*, Academic Press, 1980.
- [10] Romanoff, M. *Underground Corrosion*, National Bureau of Standards, Circular 579, 1957, PP. 115-117.
- [11] Romanoff, M. *Underground Corrosion*, National Bureau of Standards, Circular 579, 1957, P. 79
- [12] Dean, Jr., S.W. "Electrochemical Techniques of Corrosion Testing" NACE, 1976, P. 52.
- [13] Jones, D.A., *Corrosion Science*, Vol. 11, 1971, PP. 439-451.
- [14] Jones, D.A., *Corrosion* Vol. 28, 1972, PP. 421-423.
- [15] Wranglen, G., *An Introduction to Corrosion and Protection of Metals*, Chapman and Hall Publishers, New York, 1985, PP. 124-139.
- [16] Ramanoff, M. *Underground Corrosion*, National Bureau of Standards Circular 579, 1957, P. 89.